

## Климатическая геополитика «золотого сечения»



На сегодня автор уже получил необходимые и достаточные подтверждения соответствия действительности его **теории уравновешенного космо- и биопсихосоциогенеза**. Точнее, следует говорить о верификации «коронной» части данной теории — **волновой климатической геополитики**, отстаивающей тезис о циклично-поступательном характере развития человеческой цивилизации и подчиненности этого развития долгопериодным колебаниям климата. Новая наука опирается на открытую автором в 2000 г. и запатентованную на Украине в 2008 г. периодическую систему циклов, расстояний и катастроф (рис. 1). Ее доказательная база включает

**Моргун Василий Андреевич** — доктор исторических наук, профессор Донецкого национального университета, академик Международной академии исследований будущего.

передовые достижения в самых различных отраслях знаний.

В первую очередь это итоги многолетних полевых исследований доктора географических наук, профессора А.В. Шнитникова, который определил длительность трендообразующего цикла констелляции Луны Отто Петтерсона в 1850 лет [1–3] (сам первооткрыватель настаивал на примере 1600–1800-летнем эоне [4]). Арсений Владимирович Шнитни-

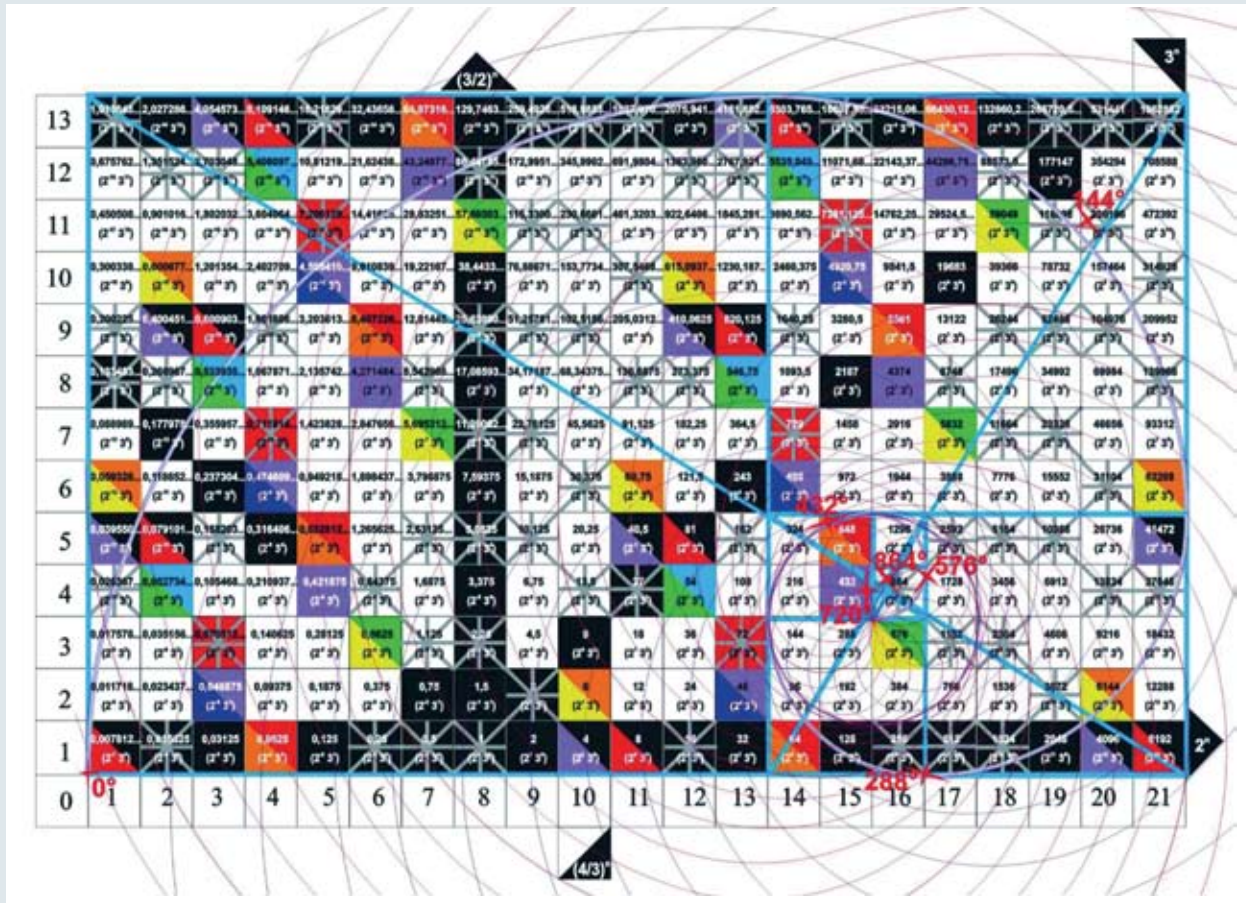
ков — выдающийся гидролог, сотрудник Института озероведения АН СССР, лауреат золотой медали им. Н.М. Пржевальского Всесоюзного географического общества — построил свой классический график на основании изучения водности озер Средней Азии. Вторую фундаментальную подсказку климатическая геополитика получила от главного научного сотрудника Института физики Земли им. Ю.Ю. Шмидта РАН, доктора геолого-минералогических наук, профессора А.А. Никонова. Андрей Алексеевич представил график, на котором изображены основные фазы периодического

*Знай же: стяжание знаний без смелых и дельных гипотез  
Кругу подобно порочному мытарств царя Одиссея.*

**Утраченный эпитаф  
к «Одиссее» Гомера, VIII в. до н.э.**

Рисунок 1

Периодическая система циклов, расстояний и катастроф



- 0,5 — фрактал «Пифагоровой коммы»  $Pk_0$  и «злополучных» 5 суток в конце года  $T0,5 (T0,4938271605... + \Delta T0,0061728395...)$  (сут.).
- 1 — фрактал земного года  $T1 (T0,987654320 + \Delta T0,012345679)$  (г.)
- 1,0136... — фрактал «Пифагоровой коммы»  $Pk_1 = 0,0136...$ , постоянной тонкой структуры Зоммерфельда  $\alpha^{-1} \approx 137$ , а также плоскостного и масс-энергетического параметра Вселенной  $\Omega_0 \approx 1,0136...$  по модели додекаэдрального Космоса Пуанкаре, разработанной командой Уикса — Люминета и уточненной автором;  $T1,0136... (T1,0011291504... + \Delta T0,01251411437...)$ .
- 2 — фрактал «Пифагоровой коммы»  $Pk_2^{-1}$ , мировой и музыкальной октавы  $T2 (T1,97530864198... + \Delta T0,02469135802...)$ .
- 3 — фрактал числа  $\pi$  в Традиции  $T3 (T2,(962) + \Delta T0,(037))$ .
- 4,5 — фрактал третьей гармоники «Пифагоровой коммы»  $Pk_3 \approx 0,0136...$ ;  $4,5 \times 10^9$ -летних квантов пространства-времени, окончание которых сопровождается панкосмическими параметрическими / стохастическими резонансами и эволюционными скачками в развитии неживой и живой материи (уплотнение, изменение кристаллической структуры и господствующих типов симметрии в химических и генетические подвижки в биологических соединениях и структурах);  $\sim 4,5$ -миллиардолетнего возраста Земли, Солнца и Солнечной системы;  $T4,5 (T4,(4) + \Delta T0,0(5))$  (г.).
- 6 — фрактал  $\sim 6$ -летнего цикла бегания земных полюсов, обобщения пяти  $\sim 438$ -суточных циклов их нутации Чандлера — Эйлера;  $\sim 60$ -летнего цикла повторения взаимного расположения Солнца, Юпитера и Сатурна, который лег в основу китайского, индийского и других восточных и южных календарей;  $T6 (T5,(925) + \Delta T0,(074))$  (л.).
- 12 — фрактал земного года в месяцах;  $\sim 12$ -летнего «года» Юпитера в земных годах; 120-летнего цикла цветения монокарпических (единожды цветущих и плодоносящих) растений в Южной и Юго-Восточной Азии;  $T12 (T11,(851) + \Delta T0,(148))$  (мес.).
- 13,5 — фрактал «Пифагоровой коммы»  $Pk_4 = 0,0136...$  и постоянной тонкой структуры Зоммерфельда  $\alpha^{-1} \approx 137$ ; возраста — радиуса Вселенной  $\sim 13,7$  млрд световых лет; радиуса молекулы воды  $\sim 0,138$  нм и резонансной для  $H_2O$  радиоволны  $\sim 1,35$  см, рабочей волны водяных мазеров («радиосигнал Армагеддона»);  $T13,5 (T13,(3) + \Delta T0,1(6))$  (св. лет, см, нм).
- 24 — фрактал земных суток  $T24 (T23,(703) + \Delta T0,(296))$  (ч.).
- 40,5 — фрактал «волны пространства-времени»  $T40,5 \times 10^{-24}$  г. «фиолетово-ультрафиолетовой», нижнего предела оптического диапазона;  $\sim 40$ -летнего «внутривекового» цикла выпадения осадков, изменения водности рек и объема горных ледников Брикнера; 40-дневного Мирового потопа и Иисусова поста; 40-летнего хождения Моисея и еврейского народа по Синайской пустыне; одного  $\sim 400$ -летнего бактуна маяя;  $\sim 40\,000$ -километровой окружности Земли;  $T40,5 (T40 + \Delta T0,5)$  (л., сут., км).
- 54 — фрактал «волны пространства-времени»  $T54 \times 10^{-24}$  г. «зелено-голубой», второй оптической гармоники и рабочей волны лазеров  $\sim 540$  нм («зеленый луч Армагеддона»); «длинной волны Н.Д. Кондратьева»  $T54$  г.;  $T54 (T53,(3) + \Delta T0,(6))$  (г., нм).
- 81 — фрактал главной мерной волны мироздания  $81 \times 10^{-24}$  г. «красно-инфракрасной», верхнего предела оптического диапазона;  $\sim 80$ -летних «векового» цикла выпадения осадков, изменения водности рек и объема горных ледников, а также модулирующего эти процессы цикла солнечной активности Глайсберга; срока человеческой жизни 81 г. и бытия одной человеческой цивилизации 8100 л. (цикл обновления горных ледников М.И. Львовича; «пиктун» маяя и христианский цикл «от Сотворения мира до Конца света»);  $T81 (T80 + \Delta T1)$  (г.).

- 108 — фрактал десяти ~10,8 летних циклов солнечной активности А.Л. Чижевского; T108 (T106,(6) + ΔT1,(3)) (л.).
- 121,5 — фрактал половины цикла транзитов Венеры (прохождения по диску Солнца относительно Земли) и квазицикла повторения разрушительных землетрясений в одних и тех же сейсмических провинциях нашей планеты; T121,5 (T120 + ΔT1,5) (г.).
- 162 — фрактал «золотого сечения»  $\varphi \approx 1,62$ ;  $\varphi$ -цикла пульсации солнечного света «золотого сечения»  $162 \times 10^{-24}$  г.; циклов пульсации Солнца Б.А. Северного и движения солнечного света от Солнца к Сатурну и обратно ~162 мин.; 10 циклов движения солнечного света к Земле и обратно ~162 мин.; характерного масштаба набравших силу ураганов ~160 км, вихревых ячеек Бенара — Рэлея в магме и их следа в литосферных структурах ~160 км; T162 (T160 + ΔT2) (г., мин., км).
- 243 — фрактал полного цикла транзитов Венеры, определяющего сейсмическую активность нашей планеты; T243 (T240 + ΔT3) (г.).
- 273,375 — фрактал удвоенного «Пифагоровой коммы»  $Pk_1 \approx 0,0136\dots$  и удвоенной постоянной тонкой структуры Зоммерфельда  $\alpha^{-1} \approx 137$ ; экспоненты  $e \approx 2,73$ , температуры физического вакуума ~ -273 °C; температуры реликтового излучения Космоса ~2,73 °K; ~2700-летних циклов обновления вод Мирового океана М.И. Львовича, иссушения / увлажнения климата Фергюсона — Кашкарова — Ловелиуса — Поморцева и солнечной активности Брея; общего количества фракталов в Матрице — 273; T273,375 (T270 + ΔT3,375) (л., °C, °K).
- 364,5 — фрактал земного года T364,5 (T360 + ΔT4,5) (сут.).
- 432 — фрактал «волны пространства-времени»  $T43,2 \times 10^{-24}$  г. «фиолетовой»; ~438-суточного «чандлеровского колебания полюса» или «свободной нутации Эйлера»; T432 (T426,(6) + ΔT5,(3)) (г., сут.).
- 486 — фрактал удвоенного цикла транзитов Венеры и квазирекулярного смещения центров сейсмической активности на Земле; 48-летнего цикла цветения монокарпических растений в Южной и Юго-Восточной Азии («маутам», или «бамбуковая смерть», в Северо-Восточной Индии и Западной Мьянме); ~1620 × 30 = 48600-летнего цикла гироскопических кувырксов Земли на 360° Батурина; T486 (T480 + ΔT6) (л.).
- 864 — фрактал постоянной времени  $\omega$  и полюса вписанной в Матрицу логарифмической спирали Пифагоро-Фибоначчиевого сечения, удвоенного цикла Чандлера — Эйлера T864 (T853,(3) + ΔT10,(6)) (сут., град.).
- 648 — фрактал «волны пространства-времени»  $T64,8 \times 10^{-24}$  г. «красно-оранжевой»; 1/40 части прецессионного цикла Земли T26244 (T25920 + ΔT324) (г.); ~648-летнего цикла пульсации Солнечной системы Б.М. Рубашева; ~64,8-тысячелетнего цикла глобальных похолоданий, иссушений и атмосферного переноса песка / пыли / лесса Жетанга Гу; ~648-тысячелетнего цикла активизации супервулканов; ~64,8-миллионелетнего цикла массовых вымираний флоры и фауны Мюллера — Роде — Моргуна; ~648-миллионелетнего цикла образования суперматериков (пангей) Вильсона — Хаина; T648 (T640 + ΔT8) (л.).
- 729 — фрактал «космологической постоянной Фалеса — Зоммерфельда» (1/137 = 0,00729927); «реликтового излучения» Вселенной ~7,29 см; «постоянной Хаббла» ~72,9 км/с на 1 мегапарсек; периода земного года в Традиции «720 дней и ночей»; традиционного деления времени и градуирования зодиакального круга (по Фалесу Милетскому (624—547 г. до н.э.) в зодиакальной окружности вмещается 720 видимых дисков Солнца или Луны; отсюда 1 диск = 1/720 часть круга = 0,0013(8) года = 0,5 суток = 12 часов = 0,5°; 2 диска («день и ночь») = 1/360 часть круга = 0,002(7) года = 1 сутки = 24 часа); T729 (T720 + ΔT9) («дней и ночей», км/с, см).
- 1458 — фрактал «Года Бытия» (цикла Сотиса — Сириуса — Осириса) древних египтян; количества минут в сутках T1458 (T1440 + ΔT18) (л., мин.).
- 1640,25 — фрактал цикла «сорока сороков», или 1600 лет Традиции; «золотого сечения»  $\varphi \approx 1,62$ ; палеоклиматического цикла Петтерсона (длительного нахождения на одной оси центров Земли, Луны и Солнца / интервала между двумя экстремумами глобального похолодания); цикла резких изменений климата — глобальных похолоданий / потеплений — во время последнего Ледникового периода и голоцена Дансгора — Эшгера — Бонда; цикла термохалинной (температурно-солевой) циркуляции Мирового океана — «конвейера Стоммела — Брокера»; циклов солнечной активности Стьюивера — Бразинуаса — Фримэна и атмосферной циркуляции Микера — Маевски; цикла колебаний барометрической оси Евразийского континента Воейкова — Броунова; циклов перемещения магнитного центра Земли по замкнутой эллиптической орбите, экскурса либо инверсии магнитного поля Земли; климатоценоциклологических цивилизационных волн «золотого сечения» квантовой психиоистории / климатической геополитики автора; характерного масштаба океанических волн Россби ~1600 км; T1640,25 (T1620 + ΔT20,25) (г., км).
- 2187 — фрактал 1/12 части прецессионного цикла Земли или «астрологической эпохи» T2187 (T2160 + ΔT27) (л.) и «бессмертного» числа 2178 — единственного, которое не уничтожается (не сводится к 0) путем зеркально-симметричных арифметических преобразований; мировой и музыкальной октавы 2.
- 5184 — фрактал 1/5 части прецессионного цикла Земли и срока беспрепятственного бытия человеческой цивилизации; палеоклиматического события Х. Хайнриха (связано с массовым стоком айсбергов с ледовых щитов и резким глобальным похолоданием, длящимся тысячелетие и более); цикла обновления подземных вод М.И. Львовича; характерного периода регулярного уменьшения амплитуды депрессии природы годичных колец деревьев Кочарова — Константина — Васильева; одно — «большое Солнце» мая и ацтеков, «13 бактунов» мая и христианский цикл «от Всемирного потопа до Апокалипсиса и Второго пришествия Мессии»; T5184 (T5120 + ΔT64) (г.).
- 5832 — фрактал «волны пространства-времени»  $T58,32 \times 10^{-24}$  г. «желто-зеленой», сидерического цикла Венеры (повторения ее диспозиций относительно Земли) ~583,2 сут.; T5832 (T5760 + ΔT72) (г., сут.).
- 6561 — фрактал 1/4 части прецессионного цикла Земли; «больших кругов квантования пространства-времени» T<sub>6561</sub> г., T<sub>656100</sub> л., T<sub>6561000</sub> л.; радиуса нашей планеты и характерного масштаба атмосферных волн Россби, в км; T6561 (T6480 + ΔT81) (г., км).
- 8748 — фрактал 4 «астрологических эпох», 1/10 количества секунд в сутках, количества часов в году; в часах — постоянная земного времени (в Архейскую эру в году было ~900 суток длительностью ~10 часов; из-за торможения солнечно-лунными приливами осевого вращения Земли постоянно замедляется Пифагоровыми долями, при этом уменьшается количество дней в году и увеличивается количество часов в сутках; сейчас имеем ~365 суток длительностью 24 часа, но общее количество часов в году всегда оставалось неизменным); T8748 (T8640 + ΔT108) (л., с, ч.) (при T1 г. = T364,5 (T360 + ΔT4,5) (сут.).
- 13 122 — фрактал 1/2 части прецессионного цикла Земли; «Большого года» древних греков и персов; 6 «астрологических эпох» T13122 (T12960 + ΔT162) (г.).
- 26 244 — фрактал 12 «астрологических эпох», прецессионного цикла Земли, «года Платона» в Традиции T26244 (T25920 + ΔT324) (г.).
- 52 488 — фрактал 24 «астрологических эпох», 2 прецессионных циклов Земли и 10 событий Хайнриха; 10 ~5200-летних «больших» и 1000 ~52-летних «малых солнц» мая и ацтеков T52488 (T51840 + ΔT648) (л.).
- 59 049 — фрактал половины ~118 260-летнего «Царь-цикла», наименьшего кратного ~1620-летнего цикла констелляции Луны Петтерсона и 1460-летнего цикла гелиакического (предрассветного) восхода Сириуса / «года Осириса» древних египтян, панкосмического синхронизатора циклов и расстояний; ~60-летнего цикла повторения взаимного расположения Солнца, Юпитера и Сатурна из пяти ~12-летних орбитальных циклов Юпитера, который лег в основание китайского, индийского и других восточных и южных календарей; T59049 (T58320 + ΔT729) (л.).
- 118 098 — фрактал ~11,826-летнего года Юпитера и ~118 260-летнего «Царь-цикла», маркирующего все земные и небесные циклы и расстояния; T118098 (T116640 + ΔT1458) (л.).
- 236 196 — фрактал удвоенного «Царь-цикла» в годах; ~2,38-летнего или «квазидвухлетнего» цикла глобальных колебаний атмосферной циркуляции Монины — Берестова; ~236,5-секундной разницы между солнечными и звездными сутками Земли; T236196 (T233280 + ΔT2916) (л., с).
- 314 928 — фрактал числа  $\pi$ ; 1/100 количества секунд в году T314928 (T311040 + ΔT3888) (с.) (при T1г. = T364,5 (T360 + ΔT4,5) (сут.).
- 472 392 — фрактал учетверенного «Царь-цикла» в годах; ~4,76-летний, или «квазипятилетний» цикл повторений явления «Эль-Ниньо» Монины — Берестова; T472392 (T466560 + ΔT5832) (г.).
- 531 441 — фрактал 1000 532-летних пасхальных циклов «Великого индиктиона» («Литургического года») и 100 событий Хайнриха; количества минут в году T531441 (T524880 + ΔT6561) (г., мин.) (при T1г. = T364,5 (T360 + ΔT4,5) (сут.).

погружения в Адриатическое море и поднятия на поверхность развалин языческого храма Сераписа-Осириса, расположенного в итальянском городке Поццуоли, на берегу Неаполитанского залива. Тысячелетние колебания уровня водности озер и уровня моря в Северном полушарии совместились как нельзя лучше. Кроме того, эти колебания почти идеально совпали с уточненными автором 1620-летними Петтерсоновыми приливными метаморфозами. Решающие графические подтверждения научной достоверности и корректности теоретико-методологических оснований климатической геополитики показаны на рис. 2–5.

Современной науке флуктуации Петтерсона — Шнитникова больше известны как осцилляции Дансгора — Эшгера — резкие изменения климата во время последнего ледникового периода по материалам гренландских кернов [5, 6]; циклы Бонда — перепады климата в Северной Атлантике в эпоху голоцена по материалам метаморфоз в обломках айсбергового льда [7, 8]; конвейер Стоммела — Брокера — термохалинные или температурно-солевые циркуляции Мирового океана по материалам донных отложений и замеров скорости течений [9–13]. Пользуясь случаем, отметим, что популярному Фибоначчиеву алгоритму подчинены и меридиональные смещения барометрической оси Евразийского континента, открытой российскими климатологами и почвоведом А.И. Воейковым и П.И. Броуновым в XIX в. (приоритет принадлежит Воейкову, его работа по атмосферной циркуляции вышла в 1874 г.) [14]. По оси, именуемой еще ложбиной циклонов, осуществляется перенос влаги с Атлантического океана вглубь Евразии.

Связь названных долгопериодных смещений атмосферных фронтов с циклом Петтерсона — Шнитникова неясная; до нас, похоже, о ней никто не говорил. Однако восталь-

Рисунок 2

Изменение высоты поверхности и основания храма Сераписа относительно уровня моря с 79 г. н.э. до настоящего времени (по А.А. Никонову) [15]

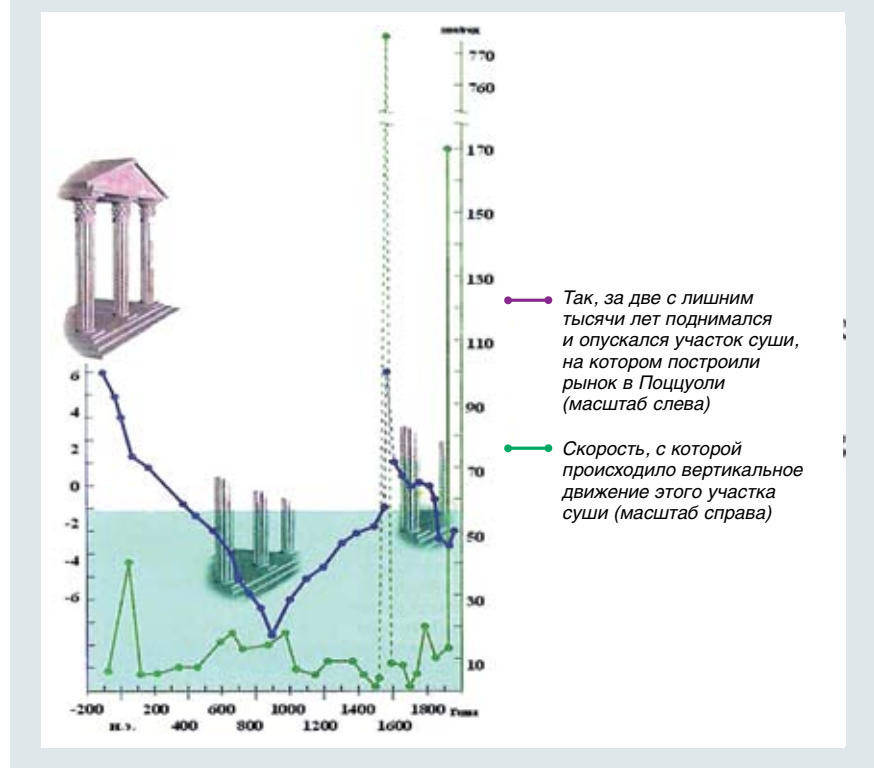
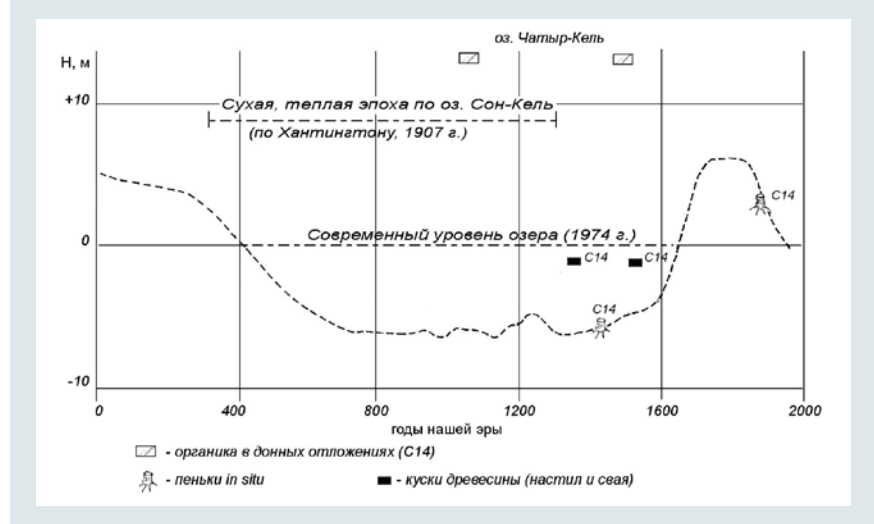


Рисунок 3

Колебания уровня воды в озерах Иссык-Куль, Сон-Кель и Чатыр-Кель с начала нашей эры (по А.В. Шнитникову) [16]

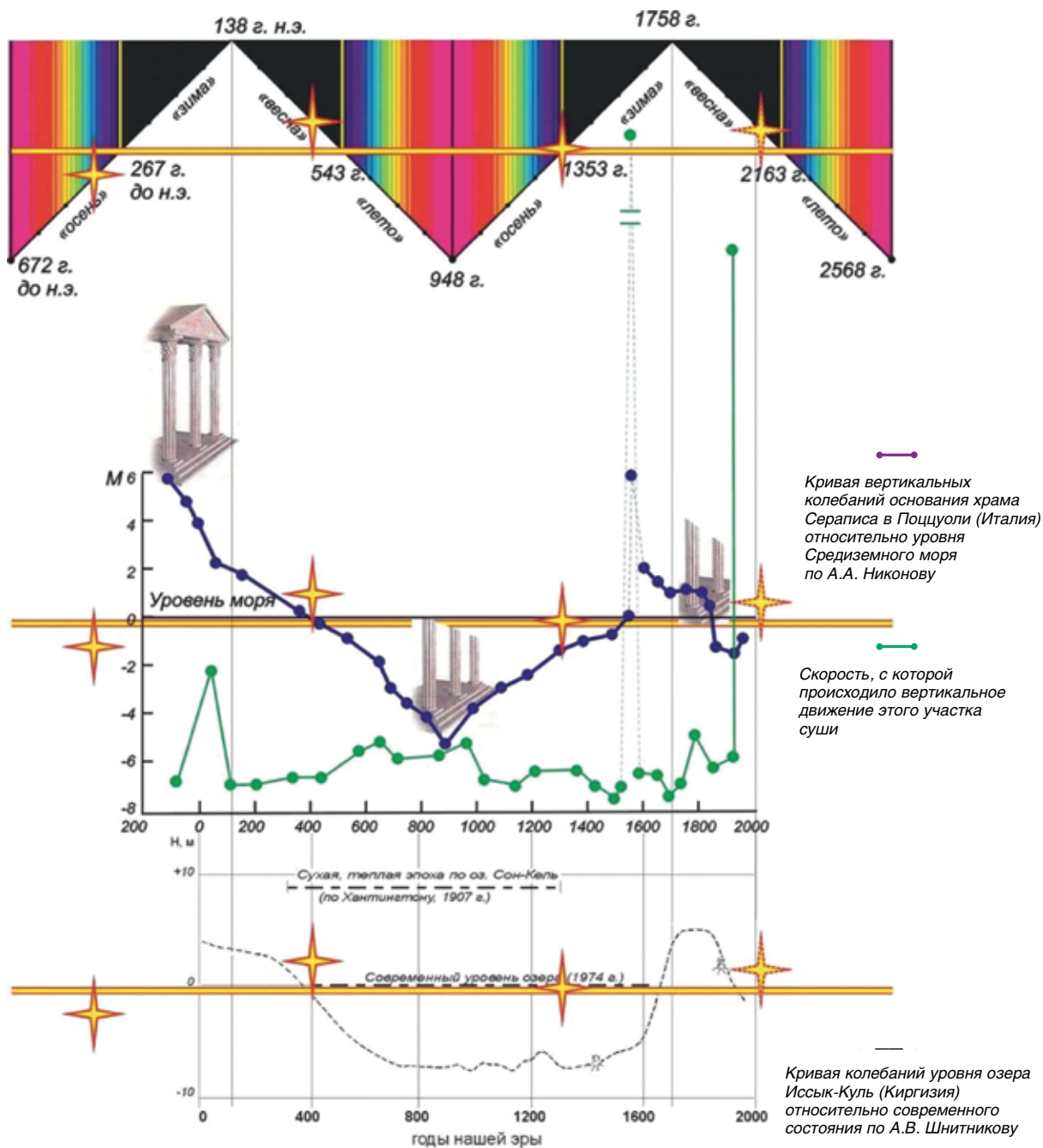


ном все достаточно прозрачно. По крайней мере великолепная плеяда исследователей конца XX — начала XXI в. не могла не заметить, что делает одно общее дело с гениальным шведом. С существова-

нием друг друга датчанин Вилли Дансгор, швейцарец Ханс Эшгер, американцы Уоллес Брокер и Жерард Бонд смирились, о чем свидетельствуют их общие публикации. В состав соавторов попал

Рисунок 4

Адаптированная корреляция последних 1620-летних циклов О. Петтерсона с данными А.А. Никонова о вертикальных движениях земной коры, А.В. Шнитникова об изменении увлажненности материков Северного полушария и П.А. Сорокина о цивилизационных типологических переломах [17]

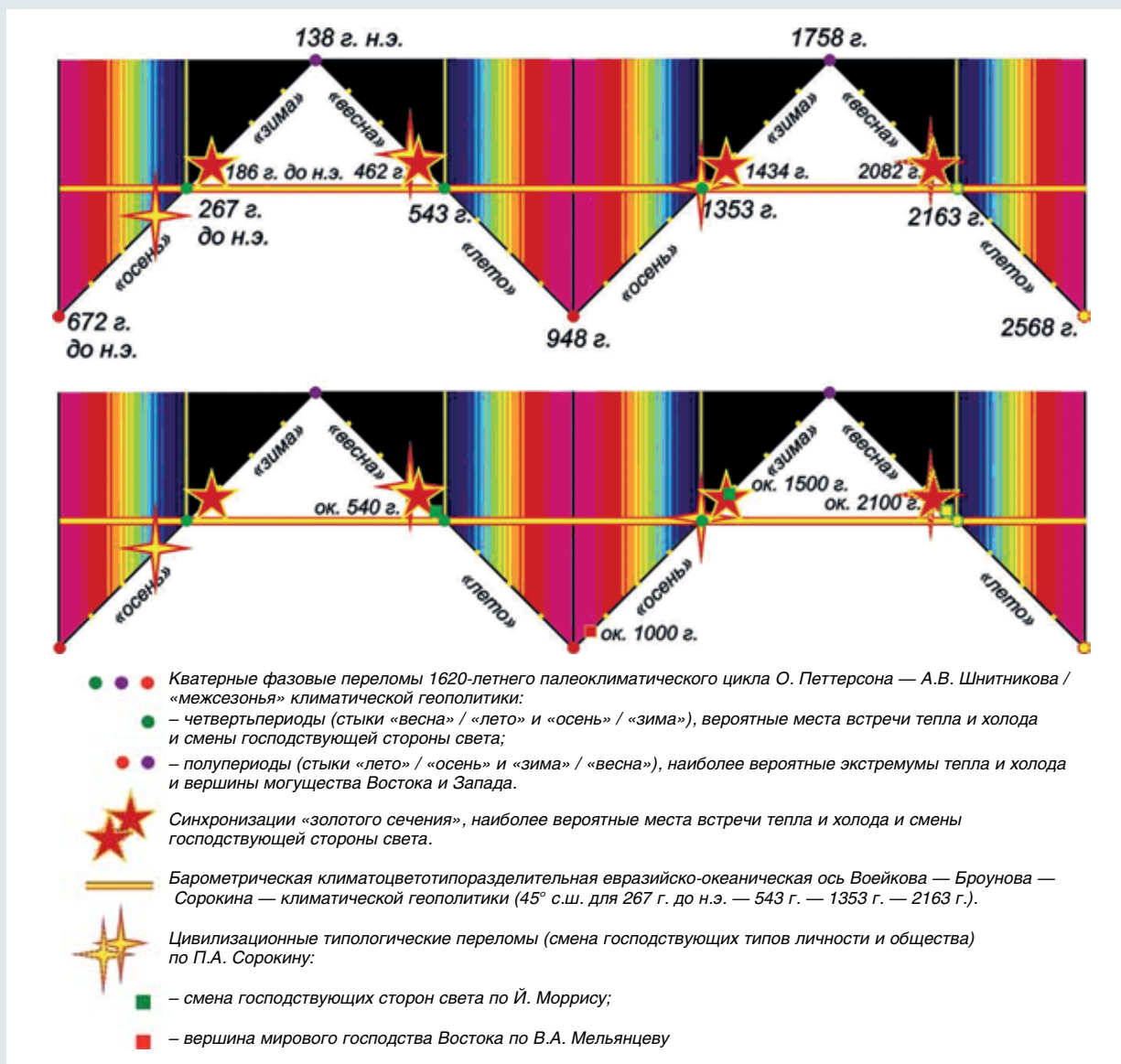


— Барометрическая климатоцветотипоразделительная евразийско-океаническая ось Воейкова — Броунова — Сорокина — климатической геополитики (45° с.ш. для 267 г. до н.э. — 543 г. — 1353 г. — 2163 г.)

★ Барометрическая климатоцветотипоразделительная евразийско-океаническая ось Воейкова — Броунова — Сорокина — климатической геополитики (45° с.ш. для 267 г. до н.э. — 543 г. — 1353 г. — 2163 г.)

Рисунок 5

Адаптированная корреляция последних 1620-летних циклов О. Петтерсона с данными П.А. Сорокина о цивилизационных типологических переломах и В.А. Мельянцева — Й. Морриса о чередовании мирового лидерства Востока и Запада [18, 19]



даже значительно более молодой немец Хартмут Хайнрих, чей ~4700–5000–6000-летний цикл айсберговых разгрузок с последующим резким тысячелетним оледенением был признан обобщением примерно трех  $1470 \pm 500$ -летних осцилляций Дансгора — Эшгера — Бонда — Брокера [20]. К чести этого талантливого коллектива он обратил внимание на корреляцию выявленных пароксизмов стихий с ~1400–

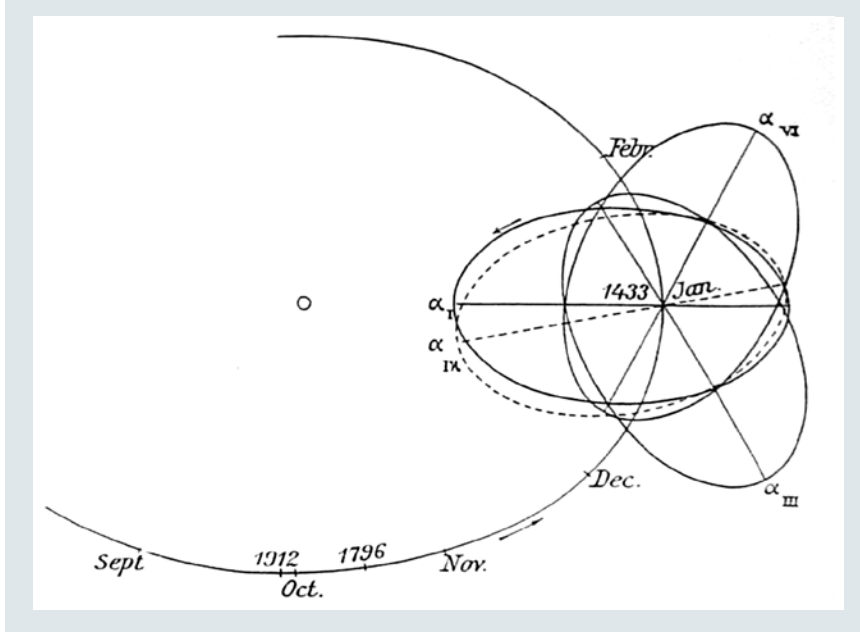
1500-летним циклом солнечной активности Стьюивера — Бразинуаса — Фримэна [21, 22, 23]. С ним логически увязывается ~1400-летний цикл атмосферной циркуляции над Северной Атлантикой и Азией Микера — Маевски [24]. Но Петтерсону и его лунному циклу в статьях и монографиях элитных палеоклиматологов места не нашлось. О вкладе шведа в разработку проблемы помнят, пожалуй, только у него на родине, да и то

далеко не все. Мы понимаем неумное стремление ученого мира к эпохальным открытиям, однако все сенсации последних десятилетий — не более чем инварианты направляемых Луной и Солнцем колебаний температуры и влажности Северного полушария Петтерсона — Шнитникова (см. рис. 3).

Первооткрывателем долгопериодного цикла конstellации

Рисунок 6

Расчет, произведенный Отто Петтерсоном с помощью его сына Ханса, указал на 1433 г. как на один из максимумов лунной гравитации и, соответственно, пик глобального похолодания



Луны — ее медленного смещения перпендикулярно плоскости эклиптики, в которой вращаются Земля и почти все другие планеты Солнечной системы, — стал Свен Отто Петтерсон — шведский океанолог, профессор химии Высшей технической школы в Стокгольме [25]. Он первым постулировал, что орбиты Луны и Земли влияют на долгопериодные климатические циклы, а также на флуктуации морской биомассы [26–30]. Но и этот ученый муж не работал в гордом одиночестве. Большую помощь в расчетах лунных орбит ему оказал сын Ханс Петтерсон, физик, также ставший впоследствии океанографом, профессором Океанографического института в Гетеборге. В дальнейшем количество соавторов у Отто Петтерсона многократно умножилось. Смущать это не должно — слишком многолики проявления «золотого» 1620-летнего зона.

Иногда детище Петтерсона называют еще циклом лунных приливов, и, надо сказать, это соответствует действительности. Солнечно-лунные приливы усиливаются на 12% при вращении Луны

вокруг Земли в плоскости эклиптики, поскольку в эти периоды Солнце и Луна часто оказываются на одной линии и их приливная сила складывается. Активное перемешивание Мирового океана ведет к поднятию на поверхность глубинных холодных вод, те испаряются и конденсируются на полюсах и в горных ледниках. Наступает ~810-летнее глобальное похолодание, народы всегда более холодных Севера и Запада страдают от сурового и переувлажненного климата, вымерзания и вымокания урожая. Тем самым стимулируется их переселение на Юг и Восток, где в это время наблюдается климатический оптимум. Наступает эпоха Великой колонизации и повсеместного распространения рациональных, индивидуалистских и прагматических подходов северных и западных этносов.

При вращении Луны вокруг Земли перпендикулярно плоскости эклиптики солнечно-лунные приливы максимально ослаблены, поскольку приливные силы Солнца и Луны действуют вразнобой. Слабое перемешивание Мирового

океана ведет к перегреву поверхностных вод. Наступает ~810-летнее глобальное потепление, народы всегда более теплых Юга и Востока страдают от иссушения климата и выгорания урожая. Тем самым вызывается их миграция на Север и Запад, где в это время наблюдается климатический оптимум. Наступает эпоха Великого переселения и повсеместного распространения эмоционально-чувственных, коллективистских и альтруистических подходов южных и восточных этносов.

До сих пор циклом Петтерсона — Шнитникова занимались в основном естествоиспытатели; гуманитариям к нему было не подступиться. Для этого имелись объективные причины — ни Петтерсону, ни его последователям не удалось с достаточной точностью определить максимумы и минимумы приливной силы Луны и, соответственно, экстремумы глобальных похолоданий и потеплений. В опубликованной в 1914 г. статье Отто Петтерсона мы видим составленный отцом и сыном график<sup>1</sup>, на котором один из абсолютных максимумов силы лунных приливов, ближайший к нам, выпадает на 1433 г. (рис. 6).

Другие гравитационные максимумы приходится у них на 3500 г. до н.э., 1900 г. до н.э., 250 г. до н.э., 3300 г. н.э. Ученые говорят о неравных интервалах со средней длительностью 1800 лет [31]. Но позвольте, где же здесь 1800 лет: от 3500 г. до н.э. до 1900 г. до н.э. — 1600 лет; от 1900 г. до н.э. до 250 г. до н.э. — 1650 лет; от 250 г. до н.э. до 1433 г. н.э. — 1683 года. Лишь от 1433 г. до 3300 г. имеем 1867 лет, что является следствием, будем говорить конкретно, ошибки при вычислении максимума 1433 г. Корректно усреднение интервала в крайнем случае до 1700 лет, что и практикуют комментаторы талантливых, но невнимательных шведов. По нашим данным, сверенным с Традицией, имеем равную 1620-летнюю длительность циклов и максимумы гравита-

ции и холода 3102 г. до н.э., 1482 г. до н.э., 138 г. н.э., 1758 г. и 3378 г. Становится понятно, что в целом схема Петтерсонов была конструктивной; период волны схвачен верно, но точки отсчета смещены в среднем на несколько столетий. Разница с нашими составляет от 78 до 408 лет. ■

ПЭС 12137/02.10.2012

Окончание следует

#### Примечание

1. Грешно не отметить, что там же выражается признательность еще одному участнику важного дела — некоему мистеру Стромбергу (Stromberg). Соавторов забывать нежное — посему приводим и эту фамилию.

#### Литература

1. Шнитников А.В. Общие черты циклических колебаний уровня озер и увлажненности территории Евразии в связи с солнечной активностью // Бюллетень комиссии по исследованию Солнца. 1949. № 3–4.

2. Шнитников А.В. Изменчивость общей увлажненности материков Северного полушария. Т. 16. Записки географического общества Союза ССР. Новая серия. М. — Л.: Изд-во АН СССР, 1957. 337 с.

3. Шнитников А.В. Внутривековая изменчивость компонентов общей увлажненности. Л.: Наука, 1968. 246 с.

4. Petterson O. Climatic variations in historic (sic) and prehistoric time // Svenska Hydrogr. Biol. Kommissionens Skrifter. 1914. Vol. 5. 26 p.

5. Oeschger H., Dansgaard W., Johnsen S.J., Clausen H.B., Dahl-Jensen D., Gundestrup N., Hammer C.U. North Atlantic Climatic Oscillations Revealed by Deep Greenland Ice Cores // Climate Processes and Climate Sensitivity / Ed. by Hansen J.E., Takahashi T. Washington, D.C.: American Geophysical Union, 1984.

6. Dansgaard W. Frozen Annals. Greenland Ice Cap Research. Odder, Denmark: Narayana Press, 2004. 122 p.

7. Bond G.C., Showers W., Cheseby M., Lotti R., Almasi P., de Menocal P., Priore P., Cullen H., Hajdas I., Bonani G. A Pervasive Millennial-Scale Cycle in North Atlantic Holocene and Glacial

Climates // Science. 1997. Vol. 278 (5341). Pp.1257–1266.

8. Bond G.C., Showers W., Elliot M., Evans M., Lotti R., Hidas I., Bonani G., Johnson S. The North Atlantic's 1-2 kyr climate rhythm: relation to Heinrich events, Dansgaard/Oeschger cycles and the little ice age // Mechanism of Global Change at Millennial Time Scales. Geophysical Monograph / Ed. by Clare P.U., Webb R.S., Kocqwin L.D. Washington, D.C.: American Geophysical Union, 1999. Pp. 59–76.

9. Stommel H. The Gulf Stream: A Physical and Dynamical Description. Berkeley: University of California Press, 1958.

10. Stommel H., Robinson A.R. The oceanic thermocline and the associated thermohaline circulation // Tellus. 1959. Vol. 3. Pp. 295–308.

11. Стоммел Г. Гольфстрим. М.: Иностранная литература, 1963. 227 с.

12. Broecker W.S. The great ocean conveyor // Oceanography. 1991. Vol. 4 (2). Pp. 79–89.

13. Broecker W.S. The Great Ocean Conveyor, Discovering the trigger for Abrupt Climate Change. Princeton: Princeton University Press, 2010.

14. Воейков А.И. Климаты земного шара, в особенности России. В кн.: Воейков А.И. Избр. соч.: В 4 т. Т. 1. М. — Л.: Изд-во АН СССР, 1948.

15. Никонов А.А. Храм Сераписа и тектоническая теория // Энциклопедия. Т. 4. Геология. М.: Аванта+, 1995. С. 230.

16. Шнитников А.В. Иссык-Куль: Природа, охрана и перспективы использования. Фрунзе: Илим, 1979. С. 40.

17. Сорокин П.А. Социальная и культурная динамика / Пер. с англ., вст. статья и комментарии В.В. Сапова. М.: Астрель, 2006. 1176 с.

18. Мельянцева В.А. Генезис современного (интенсивного) экономического роста и проблемы догоняющего и перегоняющего развития в странах Запада, Востока и России / Под ред. Исаева В.А.; сост. Петров А.М. // Экономика развивающихся стран: Сб. статей памяти В.А. Яшкина. Институт востоковедения РАН, Институт стран Азии и Африки. М.: Гуманитарий, 2004. С. 111–161.

19. Morris I. Why the West Rules — For Now: The Patterns of History, and

What They Reveal About the Future. New York: Farrar, Straus and Giroux, 2010.

20. Bond G., Heinrich H., Broecker W., Labeyrie L., McManus J., Andrews J., Huon S., Jantschik R., Clasen S., Simet C. Evidence for massive discharges of icebergs into the North Atlantic ocean during the last glacial period // Nature. 1992. Vol. 360 (6401). Pp. 245–249.

21. Stuiver M., Braziunas T.F. // The Holocene. 1993. Vol. 3. P. 289.

22. Frieman E.A. Solar influences on Global Change. Washington, DC: National Academy Press, 1994.

23. Bond G., Cromer B., Beer J., Muscheler R., Evans M.N., Showers W., Hoffmann S., Lotti-Bond R., Haidas I., Bonani G. Persistent Solar Influence on North Atlantic Climate During the Holocene // Science. 2001. Vol. 294 (5549). Pp. 2130–2136.

24. Meeker L.D., Mayewski P.A. A 1400-year high-resolution record of atmospheric circulation over the North Atlantic and Asia // Holocene. 2002. Vol. 12. № 33. Pp. 257–266.

25. Svansson A. Otto Pettersson; oceanografen, kemisten, uppfinnaren. Göteborg: Tre böcker, 2006.

26. Petterson O. On the probable occurrence in the Atlantic current of variations periodical, and otherwise, and their bearing on metrological and biological phenomena // Rappports et Procès-Verbaux des Réunions de Conseil Permanent International pour l'Exploration de la Mer. 1905. Vol. 42. Pp. 221–240.

27. Petterson O. The connection between hydrographical phenomena // Quart. Journ. R. Meteor. Soc. 1912. Vol. 38.

28. Petterson O. Climatic variations in historic (sic) and prehistoric time // Svenska Hydrogr. Biol. Kommissionens Skrifter. 1914. Vol. 5. 26 p.

29. Petterson O. Longperiodical (sic) variations of the tide-generating force // Publication Circular Conseil Permanent International pour l'Exploration de la Mer. 1915. Vol. 65. Pp. 2–23.

30. Petterson O. The tidal force. A study in geophysics // Geografiska Annaler. 1930. Vol. 18. Pp. 261–322.

31. Petterson O. Climatic variations in historic (sic) and prehistoric time // Svenska Hydrogr. Biol. Kommissionens Skrifter. 1914. Vol. 5. 26 p.